Vol. 32 No. 12

刘洋,李剑奎,沙伟君,等. 牙本质基质蛋白 1 糖基化形式在颌骨损伤中的作用 [J]. 中国比较医学杂志, 2022, 32(12): 16-23.

Liu Y, Li JK, Sha WJ, et al. Role of proteoglycan form of dentin matrix protein 1 in jaw defects [J]. Chin J Comp Med, 2022, 32 (12): 16-23.

doi: 10. 3969/j.issn.1671-7856. 2022. 12. 003

# 牙本质基质蛋白 1 糖基化形式在颌骨损伤中的作用

刘 洋1,李剑奎1,沙伟君1,崔立然1,王 辉1,徐 浩2,张怀胜2,宋 波2,薛 徽1\*

(1.齐齐哈尔医学院附属第一医院,黑龙江 齐齐哈尔 161041;2.齐齐哈尔医学院,黑龙江 齐齐哈尔 161006)

【摘要】 目的 探讨牙本质基质蛋白 1 糖基化形式(proteoglycan form of dentin matrix protein 1, DMP1-PG) 在下颌骨骨损伤中的重要作用。方法 分别构建对照组野生型(wild type, WT) 小鼠及实验组牙本质基质蛋白 1 糖基化点突变(S89G-DMP1) 小鼠下颌骨骨缺损模型。模型构建完成后 7 d、14 d 及 28 d 收取样本,显微计算机断层micro-CT 扫描,组织切片及染色,观察二者之间组织愈合差异;通过免疫荧光染色,观察成骨相关蛋白在组织损伤区的表达变化差异;应用实时定量聚合酶链反应(real-time quantitative polymerase chain reaction, RT-qPCR) 技术,对比实验组与对照组在术后成骨相关基因表达变化情况;分别提取实验组与对照组颌骨骨髓间充质干细胞,进行成骨诱导分化,观察二者之间成骨分化能力差异。结果 同对照组相比,实验组小鼠下颌骨损伤愈合能力明显减弱,骨损伤区成骨相关蛋白表达减低,术后 7 d 及 14 d 成骨相关基因表达水平较对照组明显下调。通过提取两组小鼠下颌骨骨髓间充质干细胞进行成骨诱导分化,结果显示同对照组相比,实验组小鼠骨髓间充质干细胞成骨向分化能力明显减弱。结论 DMP1-PG 参与颌骨损伤修复,缺乏 DMP1-PG 可导致小鼠颌骨缺损愈合延迟。

【关键词】 颌骨缺损;蛋白聚糖;牙本质基质蛋白1

【中图分类号】R-33 【文献标识码】A 【文章编号】1671-7856 (2022) 12-0016-08

# Role of proteoglycan form of dentin matrix protein 1 in jaw defects

LIU Yang<sup>1</sup>, LI Jiankui<sup>1</sup>, SHA Weijun<sup>1</sup>, CUI Liran<sup>1</sup>, WANG Hui<sup>1</sup>, XU Hao<sup>2</sup>, ZHANG Huaisheng<sup>2</sup>, SONG Bo<sup>2</sup>, XUE Hui<sup>1\*</sup>
(1. the First Affiliated Hospital of Qiqihaer Medical University, Qiqihaer 161041, China.

2. Qiqihaer Medical University, Qiqihaer 161006)

[Abstract] Objective To investigate the role of proteoglycan form of dentin matrix protein 1 (DMP1-PG) in mandibular bone injury. Methods We created mandibular bone defects in wild-type mice (control group) and DMP1 glycosylation point mutant (S89G-DMP1) mice (experimental group). Samples of mandibles were collected at 7, 14 and 28 days after model construction and subjected to micro-computed tomography scans, tissue sectioning, and hematoxylin eosin and toluidine blue staining to compare defect healing between the two groups. We also examined differences in the expression of osteogenesis-related proteins in the injured areas by immunofluorescence staining, and compared osteogenesis-related gene expression levels between the experimental and control groups post-surgery using real-time quantitative polymerase chain reaction. Mandibular bone marrow mesenchymal stem cells were extracted from both groups and their osteogenic differentiation abilities were compared. Results Mandibular injury healing was significantly reduced in the experimental compared with the control mice, and expression levels of osteogenesis-related proteins in the bone-injury area

<sup>[</sup>基金项目]黑龙江省自然科学基金资助项目(LH2020H128);黑龙江省省属高等学校基本科研业务费科研项目(2019-KYYWF-1218)。 [作者简介]刘洋(1981—),女,硕士,研究方向:领骨创伤及牙周损伤。E-mail;liuyang811001@126.com

<sup>[</sup>通信作者] 薛徽(1982—), 男, 博士, 副主任医师, 硕士研究生导师, 研究方向: 牙发育, 骨损伤及骨修复。 E-mail: xuehui820512@ 126. com

were decreased. In addition, the osteogenic differentiation ability of bone marrow mesenchymal stem cells from the experimental group was significantly weaker than that of cells from the control group. **Conclusions** DMP1-PG is involved in the repair of jaw injury, and lack of DMP1-PG can lead to delayed healing of jaw defects in mice.

[Keywords] jaw defect; proteoglycan; dentin matrix protein 1

领骨损伤是口腔颌面外科与创伤外科的常见 病与多发病,常因直接暴力,间接暴力,肿瘤,炎症 及医源性损伤等引起[1]。颌骨损伤后主要表现为 开口受限,咬合关系错乱,面部肿胀等临床特征,因 其特殊解剖位置及功能特点, 颌骨缺损修复过程近 年来备受关注[2-3],如何快速、安全、有效治疗口腔 颌面部损伤,促进缺损区新骨形成已成为目前亟待 解决的科学问题。骨损伤发生后,骨组织内血管断 裂,血小板、纤维蛋白及大量红细胞自血管内释放, 在损伤区激活凝血系统进而形成血肿[4],与此同 时,中性粒细胞,巨噬细胞及淋巴细胞等炎症细胞 迅速募集至骨损伤区,吞噬组织碎片及病原体,释 放大量的趋化因子及炎症因子[5-6]。来自骨膜及骨 髓腔内的间充质干细胞在多种炎症因子的刺激下, 迅速聚集至骨损伤区并向成骨细胞、成软骨细胞及 成纤维细胞分化,进而形成骨痂,最终骨痂在成骨 细胞及破骨细胞的共同作用下被板层状骨取代,骨 损伤修复完成[7]。

骨痂在骨组织损伤修复过程中具有维持组织形态、调控损伤区初期稳定性及提供基质矿化空间等重要作用。蛋白聚糖是构成骨痂的重要组成部分之一,能够有效维持骨痂机械强度,并为损伤组织提供保护性屏障。DMP1-PG是一类新发现的蛋白聚糖,通过对骨损伤样本进行高通量测序,我们发现其与骨损伤修复关系密切。DMP1是在牙本质cDNA克隆过程中发现的一类酸性细胞外基质蛋白,DMP1-PG是其糖基化形式<sup>[8]</sup>。DMP1-PG在软骨基质及骨基质中呈高表达,DMP1-PG缺失后,四肢长骨发育呈现老龄化骨病特征,此外颌骨及颅骨发育异常,表现为颞下颌关节过度磨损及颅骨颅缝早闭特征。然而 DMP1-PG 在颌面部骨组织中的损伤修复作用暂无相关研究及报道。

前期研究过程中,通过构建颌骨骨缺损模型,我们发现 DMP1-PG 在野生型小鼠颌骨缺损修复组织中大量表达,为进一步探讨 DMP1-PG 在颌骨缺损修复中的作用,我们构建 DMP1-PG 点突变(S89G-DMP1)小鼠,通过对比二者在颌骨创伤修复中的差异,探究 DMP1-PG 对小鼠颌骨损伤修复的影响及相关作用机制。

#### 1 材料和方法

# 1.1 实验动物

实验组 S89G-DMP1 小鼠,SPF 级,雄性,8 周龄 30 只,体重 24~26 g,由上海同济大学口腔医学院孙瑶教授课题组设计,辽宁长生生物技术股份有限公司[SCXK(辽)2020-001]培育,对照组 WT 小鼠为 C57BL/6J 品系,SPF 级,雄性,8 周龄 30 只,体重 24~26 g,购于辽宁长生生物技术股份有限公司 [SCXK(辽)2020-001],在齐齐哈尔医学院实验动物中心屏障环境[SYXK(黑)2021-013]饲养,上述实验动物饲养给与 12 h 无光/12 h 人工光照饲养环境,饲养温度 22℃~25℃,自由进食与饮水。所有动物相关实验方案均经齐齐哈尔医学院伦理委员会批准(QMU-AECC-2021-56)。所有实验设计及操作均符合动物实验学"3R"原则。

# 1.2 主要试剂与仪器

HE 染液(上海生工生物工程有限公司,批号E607318);甲苯胺蓝染液(上海生工生物工程有限公司,批号A600962);TRIzol 试剂盒(Invitrogen 公司,批号15596018);anti-DMP1-C 及 anti-DMP1-N(爱玛特医药科技上海有限公司);anti-ALP(Abcam公司,批号ab224355);anti-RUNX2(Abcam公司,批号ab76956);反转录试剂盒(TaKaRa公司,批号PR036A)。

实时荧光定量 PCR 仪(Lightcycler 96); Bio-Rad PCR 仪(C1000 Touch); 石蜡 切片机(Thermo, HM325);倒置荧光显微镜(尼康, TS2R);显微计算机断层 micro-CT 机(SCANCO, Switzerland)。

#### 1.3 实验方法

### 1.3.1 S89G-DMP1 小鼠的构建

根据野生型小鼠(C57BL/6J)全基因组序列,构建所有 DMP1 蛋白糖基化位点外显子上、下游 6.6 kb 及 8.2 kb 基因序列同源重组臂,在 DMP1 第 6 外显子下游 179 bp 敲入 Neo 阳性序列,质粒构建完成后,通过电转技术,将质粒转入小鼠胚胎干细胞,后将 3 个阳性克隆移植入 Balb/c 假孕小鼠子宫内。已获得 5 个嵌合体的雄性小鼠与野生型小鼠(C57BL/6J)杂交,获取 F1 代小鼠。通过杂交获得

的雄性小鼠与 B6.129S4-Gt(ROSA)26-Sortm1(FLP1)Dym/Rain J 雌性小鼠杂交,确定移除Neo序列,通过基因型鉴定确定Neo移除序列的子代小鼠。经鉴定获得的S89G-DMP1小鼠在实验使用时均须经过基因型鉴定。

## 1.3.2 下颌骨缺损模型构建

根据相关文献<sup>[9]</sup>建立下颌骨骨缺损模型。选用 8 周龄雄性 WT 小鼠及 S89G-DMP1 小鼠,作为实验对象。腹腔注射戊巴比妥钠(剂量:50 mg/kg,浓度:0.3%),麻醉显效后,将右侧下颌骨表面皮肤备皮并充分消毒,切开下颌表面皮肤,钝性分离咬肌,暴露下颌骨,使用牙科涡轮机在下颌骨体部构建直径1.2 mm 的缺损洞形,该缺损洞形需穿通下颌骨。洞形制备完成后生理盐水局部冲洗,分层缝合咬肌与表面皮肤。术中需注意保护下颌骨骨膜,避免因人为手术因素造成二组之间的差异。术后 3 d 内腹腔注射镇痛药及抗生素。

#### 1.3.3 Micro-CT 扫描

颌骨损伤模型构建完成后 14 d 及 28 d 收取样本,选择合适管径的扫描管,扫描精度选取 10 μm,扫描功率 14 W,扫描电流 200 μA,扫描电压 70 kV。1.3.4 样本脱钙,包埋,HE,甲苯胺蓝染色及免疫荧光染色

颌骨损伤模型构建后 7 d、14 d 及 28 d 收取组织样本,将下颌骨置于 4℃浓度为 4%的多聚甲醛溶液中 24 h 后,放入 10%乙二胺四乙酸溶液中脱钙 14 d。样本脱钙完成后置入自动样本脱水仪脱水、浸蜡,组织包埋机包埋后切片,切片厚度为 4 μm。根据 HE 及甲苯胺蓝试剂盒要求进行相应染色,中性树胶封片,显微镜拍照。

石蜡切片水化后,透明质酸抗原修复,山羊血清封闭处理。将组织切片与以下一抗: anti-ALP (1:500), anti-RUNX2(1:500), anti-DMP1-N(1:500), anti-DMP1-C(1:500)进行共同孵育并 4% 过夜, PBS 溶液洗涤三次后与荧光二抗 Alexa Fluor 546 IgG(1:1000)室温孵育 1 h,使用 DAPI 进行细胞核复染,荧光显微镜下观察、拍照。

#### 1.3.5 RT-qPCR 检测

下颌骨缺损模型构建完成后7d及14d收取样本,将样本放入含1 mL TRIzol(Invitrogen)溶液的EP管中,根据试剂盒要求提取损伤样本RNA,紫外光分光光度仪测量RNA浓度,使用TaKaRa逆转录

试剂盒 20 μL 体系将 RNA 逆转录为 cDNA。根据 RT-qPCR 试剂盒使用说明书配置 10 μL 扩增体系, 分析靶基因 mRNA 表达水平, 引物序列见表 1。

#### 1.3.6 细胞培养与 ALP 染色

选取 8 周龄 WT 小鼠及 S89G-DMP1 小鼠,提取下颌骨骨髓间充质干细胞 (mandible bone marrow stromal cells, mBMSCs)。充分麻醉诱导后,将小鼠下颌骨分离,剪碎,反复冲洗,1200 r/min 分离心 5 min 后,将上清液及碎骨片吸出,用含有 α-MEM,10%胎牛血清及 1%青霉素/链霉素的普通培养基再次离心重悬,置于培养皿中培养,当细胞密度达到80%以上时进行传代。P3 代后,将细胞置于含有 β-甘油磷酸钠的成骨诱导培养基中成骨诱导 21 d,根据 ALP 试剂盒使用说明对其进行 ALP 染色,显微镜拍照。

#### 1.4 统计学方法

所有实验样本应用 GraphPad Prism 7.0 软件进行统计学分析并绘制条形图,计量资料通过平均数  $\pm$ 标准误差( $\bar{x}\pm s\bar{x}$ )表示,使用 t 检验进行两组间数据比较分析,P<0.05 表示差异具有统计学意义。

表 1 RT-qPCR 引物序列 **Table 1** Primer sequences for RT-qPCR

Table 1	Primer sequences for RT-qPCR
基因	引物序列(5'-3')
Genes	Primer sequences
Dmp1-F	AGTGAGTCATCAGAAGAAAGTCAAGC
Dmp1-R	CTATACTGGCCTCTGTCGTAGCC
$Opn ext{-}\mathrm{F}$	GATCAGGACAACAACGGAAAGG
$Opn ext{-R}$	GCTGGCTTTGGAACTTGCTT
Ocn-F	GAGGACCATCTTTCTGCTCACTCT
Ocn-R	TTATTGCCCTCCTGCTTGGA
$Alp$ - $\mathrm{F}$	GATCATTCCCACGTTTTCACATT
$Alp ext{-R}$	TTCACCGTCCACCACCTTGT
$Opg ext{-} ext{F}$	CCAAGAGCCCAGTGTTTCTT
$Opg ext{-R}$	CCAAGCCAGCCATTGTTAAT
A can-F	CGCCACTTTCATGACCGAGA
Acan-R	TCATTCAGACCGATCCACTGGTAG
$Bgn ext{-}\mathrm{F}$	CCTGAGACCCTGAACGAAC
$Bgn ext{-R}$	GTGACCTAAGCCCAACCTGT
Dcn- $F$	TGAGCTTCAACAGCATCACC
Dcn-R	AAGTCATTTTGCCCAACTGC
Vcan-F	TGAGCTTCAACAGCATCACC
Vcan-R	ATAGAATTGTCCTTTGCGGATGAGG

## 2 结果

#### 2.1 DMP1-PG 在下颌骨损伤区的表达

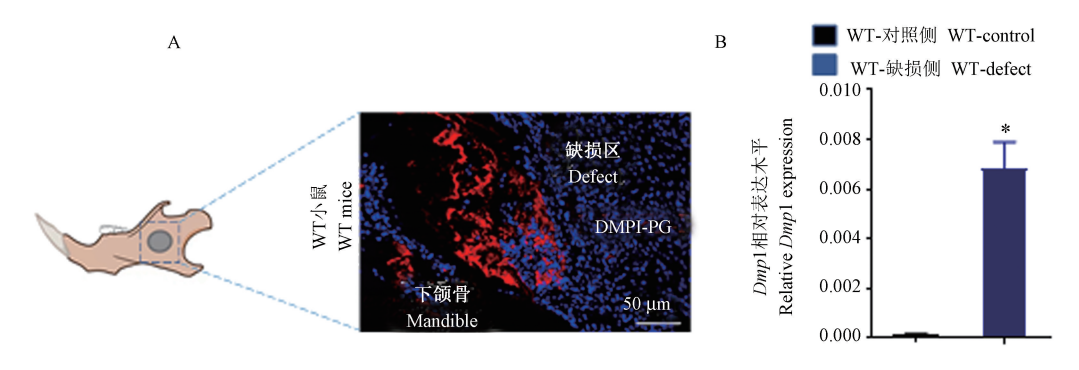
DMP1-PG为DMP1糖基化形式,即DMP1-N端通过共价键与糖胺聚糖链连接,通过对组织样本进行DMP1-N抗体免疫荧光染色,可观察DMP1-PG在组织中的表达。首先构建WT小鼠下颌骨骨缺损模型,在术后14d收取样本,通过对骨缺损样本进行免疫荧光染色,研究发现DMP1-PG在缺损组织内及缺损周围骨组织间大量表达。骨缺损后14d,提取缺损组织范围内RNA,结果显示同未损伤区下颌骨相比,Dmp1基因表达显著上调,上述结果表明DMP1-PG可能在颌骨缺损修复过程中发挥重要的作用,见图1。

#### 2.2 S89G-DMP1 小鼠基因型鉴定

S89G-DMP1 小鼠构建完成后进行基因型鉴定, 组织样本凝胶电泳结果显示 DMP1-Neo 为 260 bp 条带, DMP1-WT 为 250 bp 条带, WT 小鼠显示为 DMP1-WT 250 bp 单条带, S89G-DMP1 小鼠纯合子显示为 DMP1-Neo 260 bp 单条带, S89G-DMP1 小鼠杂合子显示为 260 bp 与 250 bp 双条带。根据实验结果,6号小鼠为 S89G-DMP1 阳性对照,1~5号小鼠为 S89G-DMP1 纯合子,见图 2。

#### 2.3 DMP1-PG 缺失抑制下颌骨损伤修复

为进一步探究 DMP1-PG 在颌骨损伤中的作用,课题组同时构建 WT 小鼠及 S89G-DMP1 小鼠颌骨缺损模型,在术后 7 d、14 d 及 28 d 收取样本,进行组织学染色。结果显示,颌骨缺损后 7 d,WT 小鼠及 S89G-DMP1 小鼠骨缺损区域内均未见明显骨组织生成,损伤区内可见大量纤维样结构。术后 14 d,WT 小鼠颌骨缺损区内可见部分点、片状骨小梁生成,相较于 WT 小鼠,S89G-DMP1 小鼠损伤区骨组织生成能力明显减弱,损伤区仅可见极少数量的新生骨小梁,新生骨组织细小、散在的分布于颌骨缺损区;颌骨缺损后 28 d,WT 小鼠颌骨缺损区内可见大量新生骨组织,主要为骨小梁样结构,新生骨



注:A:DMP1-PG 在 WT 小鼠下颌骨缺损区表达情况。B:Dmp1 基因在 WT 小鼠下颌骨缺损后 14 d 表达变化差异。与对照侧比较, \*P<0.05。

### 图 1 DMP1-PG 在下颌骨损伤区大量表达

Note. A, Expression of DMP1-PG in the mandibular defect area of WT mice. B, *Dmp*1 gene expression difference in WT mice after mandibular defect 14 days. Compared with WT-control mice, \* *P*<0.05.

Figure 1 DMP1-PG is abundantly expressed in the mandibular injury area

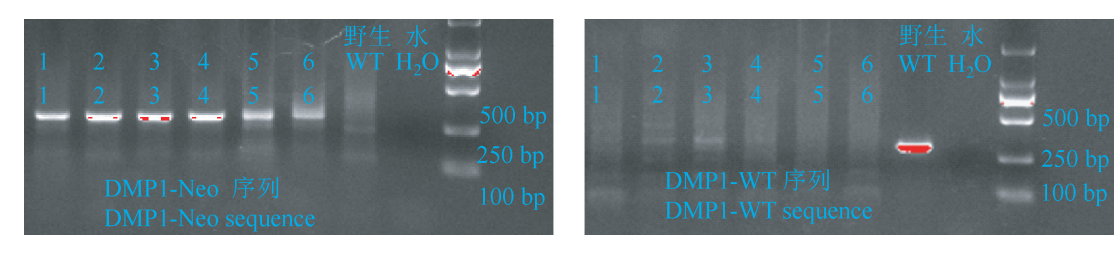


图 2 S89G-DMP1 小鼠基因型鉴定

Figure 2 Genotypic identification of S89G-DMP1 mice

组织已完整覆盖缺损区,与周围组织无明显界限,骨小梁结构成熟,HE 染色显示新生骨小梁无明显淡染,与正常下颌骨组织染色无明显差异。同 WT 小鼠相比,S89G-DMP1 小鼠在颌骨损伤后 28 d 尚不能完成有效损伤修复,缺损区内新生骨小梁数量较术后 14 d 略增加,但仍明显少于 WT 小鼠,骨小梁不能完整覆盖缺损组织,新生骨组织主要表现为类骨质样结构,HE 染色表现为明显的淡染状态。术后 14 d 及 28 d 收取样本,进行 Micro-CT 扫描,结果显示,WT 小鼠颌骨缺损区内新生骨组织量显著高于 S89G-DMP1 小鼠,见图 3。

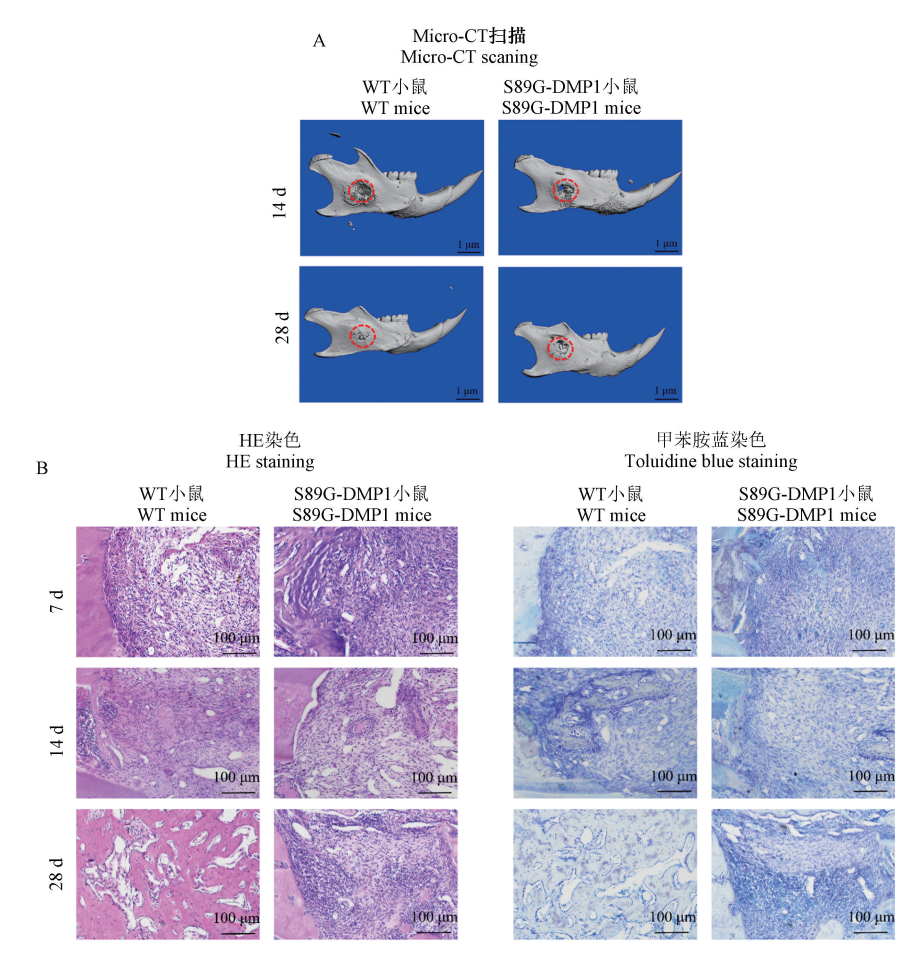
#### 2.4 DMP1-PG 缺失抑制成骨蛋白表达

通过使用免疫荧光染色技术,观察 DMP1-PG 缺失后对小鼠颌骨缺损区成骨相关蛋白表达的影

响。结果显示,下颌骨损伤后 14 d,成骨相关蛋白 DMP1-C,ALP 及 RUNX2 在 WT 小鼠颌骨缺损区 表达量较高,表现为染色较深的红染区,主要分布于新生骨小梁周围区域。在 S89G-DMP1 小鼠颌骨损伤区,上述蛋白表达量明显减低,尤其在 ALP 蛋白表达方面,S89G-DMP1 小鼠仅呈现极个别散在点样红染。上述结果进一步证实 DMP1-PG 缺失后,成骨相关蛋白在骨损伤区生成明显减弱,见图 4。

#### 2.5 DMP1-PG 缺失抑制小鼠成骨相关因子表达

为进一步探究 DMP1-PG 影响颌骨损伤修复的相关机制,应用 RT-qPCR 技术对比观察颌骨损伤后7 d及14 d成骨相关基因及蛋白聚糖生成相关基因表达变化情况。结果显示术后7 d,WT 小鼠与蛋白



注: A: 术后 14 d 及 28 d Micro-CT 扫描; B: WT 小鼠及 S89G-DMP1 小鼠在下颌骨缺损后 7 d、14 d 及 28 d 组织学切片 HE 染色及甲苯胺蓝染色。

#### 图 3 WT 小鼠及 S89G-DMP1 小鼠下颌骨缺损组织学及影像学差异

Note. A, Micro-CT scans at 14 d and 28 d post-operation. B, HE staining and toluidine blue staining of histological sections of WT mice and S89G-DMP1 mice at 7 d, 14 d and 28 d after mandibular defect.

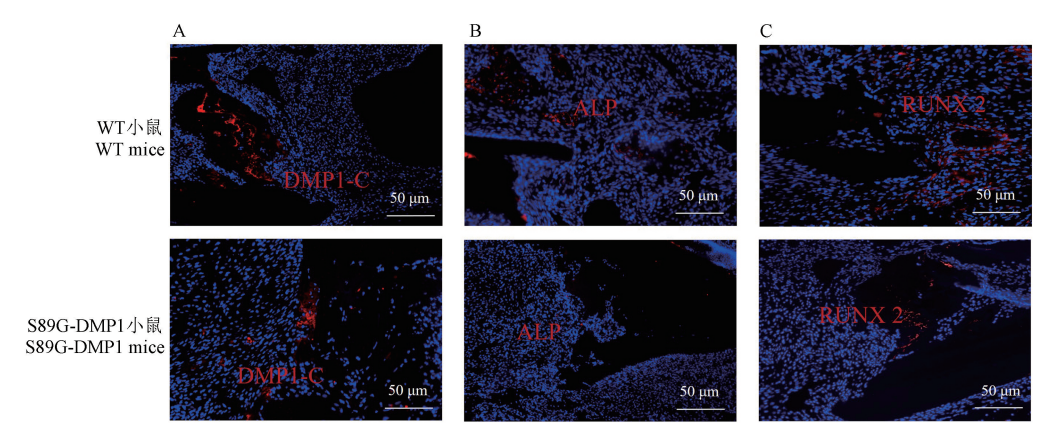
Figure 3 Histological and iconography differences of mandibular defects in WT mice and S89G-DMP1 mice

聚糖生成相关基因( $Acan \, Bgn \, Dcn \, D \, Vcan$ ) 及骨生成相关基因( $Alp \, Ocn \, Opn \, D \, Runx2$ ) 显著高于S89G-DMP1 小鼠, P < 0.05, 差异具有统计学意义。术后 14 d,  $Dcn \, Alp \, Ocn \, D \, Opn \, E \, WT \, 小鼠缺损骨组织内表达量高于S89G-DMP1 小鼠, <math>P < 0.05$ , 差异具有统计学意义, 见图 5。

# 2.6 DMP1-PG 缺失抑制骨髓间充质干细胞分化

骨髓间充质干细胞在骨损伤修复过程中发挥

重要的作用,通过提取下颌骨来源的 BMSCs,观察 DMP1-PG 缺失后对其成骨分化能力的影响。ALP 染色显示 DMP1-PG 缺失后 BMSCs 成骨活性降低。此外,来源于 S89G-DMP1 小鼠 mBMSCs 培养聚集物的成骨及蛋白聚糖相关的 mRNA 表达水平较 WT 小鼠表达明显降低。S89G-DMP1 小鼠 BMSCs 异常的成骨能力进一步证实了 DMP1-PG 在调节颌骨缺损愈合中的重要作用,见图 6。

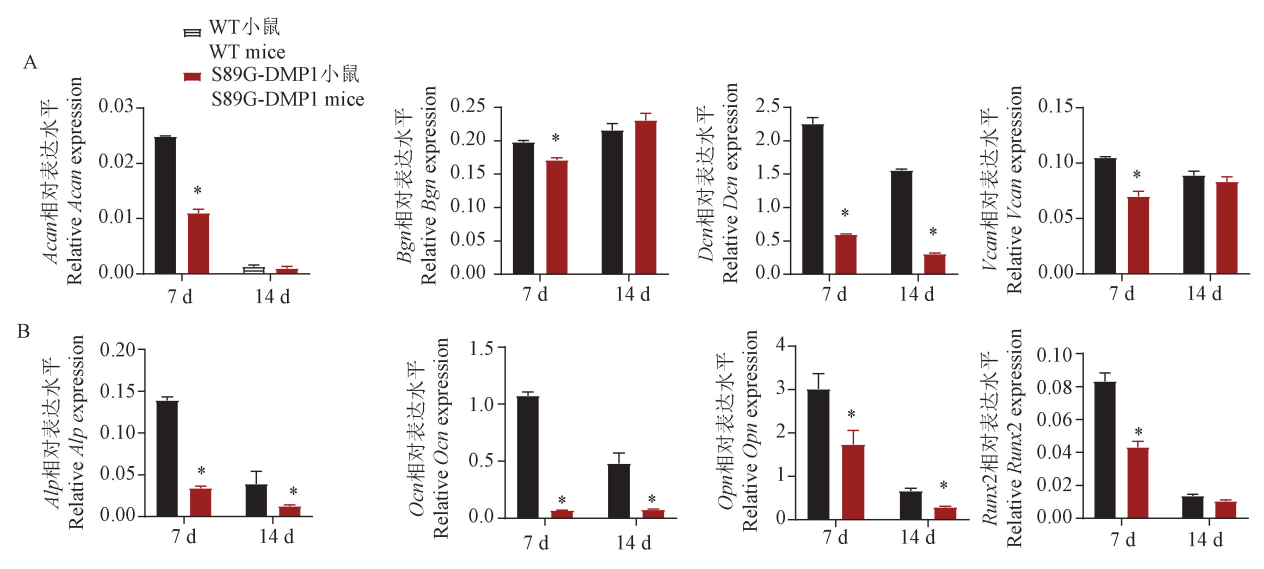


注:A:DMP1-C端免疫荧光染色;B:ALP免疫荧光染色;C:RUNX 2免疫荧光染色。

图 4 成骨相关蛋白在下颌骨缺损区免疫荧光染色

Note. A, DMP1-C-terminal immunofluorescence staining. B, ALP immunofluorescence staining. C, RUNX 2 immunofluorescence staining.

Figure 4 Immunofluorescence staining of osteogenesis-related proteins in the mandibular defect area

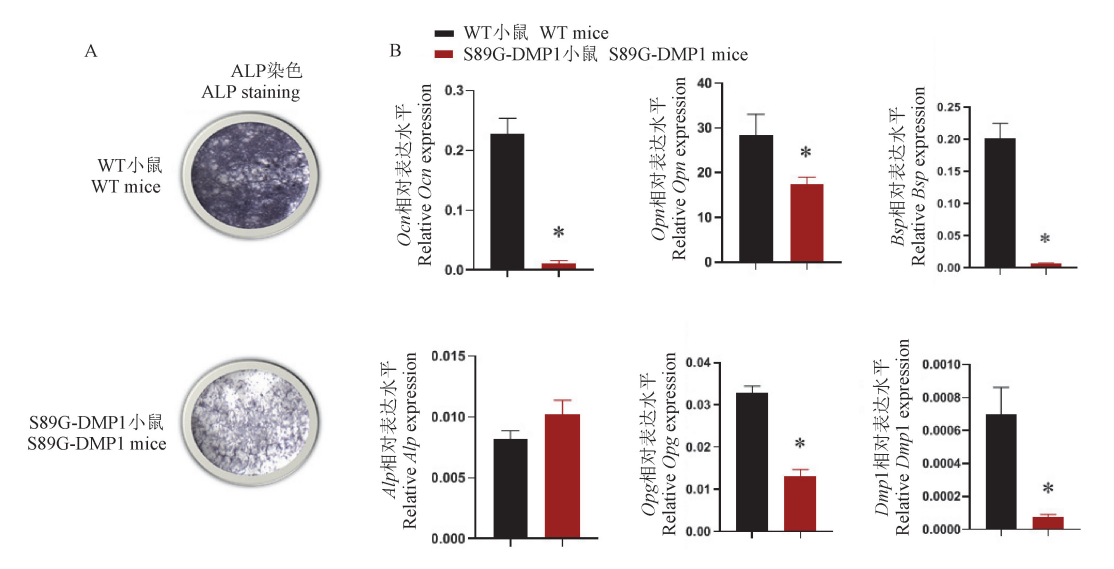


注:A:蛋白聚糖生成相关基因在 WT 小鼠及 S89G-DMP1 小鼠下颌缺损后 7 d 及 14 d 表达变化差异;B:成骨相关基因在 WT 小鼠及 S89G-DMP1 小鼠下颌缺损后 7 d 及 14 d 表达变化差异。与 WT 小鼠比较, $^*P<0.05$ 。

#### 图 5 WT 小鼠及 S89G-DMP1 小鼠下颌骨缺损后相关基因表达变化

Note. A, Expression changes of proteoglycan-related genes in WT mice and S89G-DMP1 mice after mandibular defect at 7 d and 14 d. B, Osteogenesis-related genes in WT mice and S89G-DMP1 mice at 7 d and 14 d after mandibular defect. Compared with WT mice, \*P<0.05.

Figure 5 Changes in the expression levels of related genes after mandibular defect in WT mice and S89G-DMP1 mice



注:A:WT 小鼠及 S89G-DMP1 小鼠下颌骨骨髓间充质干细胞成骨诱导后 ALP 染色;B:二组骨髓间充质干细胞成骨诱导后相关基因表达 差异。与 WT 小鼠比较, $^*P$ <0.05。

图 6 DMP1-PG 缺失后骨髓间充质干细胞成骨能力下降

Note. A, ALP staining of mBMSCs osteogenic induction of WT mice and S89G-DMP1 mice. B, Differences in the expression levels of related genes after osteogenic induction of mBMSCs between the two groups. Compared with WT mice,  $^*P$ <0.05.

Figure 6 Decreased osteogenic ability of bone marrow mesenchymal stem cells after DMP1-PG deletion

#### 3 讨论

因多种原因导致的颌骨缺损,不仅对患者的语言、咀嚼及吞咽等功能造成影响,同时也给患者造成极大的心理及社会适应障碍。颌骨缺损发生后,血肿即刻形成同时伴有炎症细胞浸润,体内间充质干细胞向成纤维细胞、成软骨细胞及成骨细胞分化,形成软骨及硬骨骨痂,最终完成骨组织再生过程。在这一过程中,骨组织细胞外基质成分发挥重要的作用,包括在愈合过程中提供支撑结构,调控成骨细胞行为及功能等[11]。蛋白聚糖是细胞外基质的重要组成部分之一,尽管其在细胞外基质中含量较低,但其参与多种细胞组织活动,包括维持骨矿化基质强度,充填组织细胞间隙,粘附生长因子,调控基质矿化及骨损伤修复[12-14]。

DMP1 是最初在牙本质中被发现的酸性蛋白,在随后的相关研究中,人们发现其不仅在牙本质中表达,在其他组织包括皮肤、肌肉、乳腺、脑组织及骨组织<sup>[15]</sup>中均有表达,尤其在骨组织中呈高表达,表达量明显高于牙本质。DMP1 在体内以四种形式存在: DMP1 全长片段及水解后产物 DMP1-C 端, DMP1-N 端, DMP1-N 端尚可以通过共价键与糖胺聚糖链连接,形成 DMP1 糖基化形式,即 DMP1-PG。作为一类新发现的蛋白聚糖, DMP1-PG 在肌肉组

织<sup>[16]</sup>、骨组织矿化前沿及软骨基质中大量表达<sup>[17]</sup>。相关研究表明,DMP1-PG 缺失可导致小鼠骨脆性增加,骨组织过度衰老。

在前期研究中,我们发现 DMP1-PG 在颌骨骨 缺损修复组织内及周围大量表达,Dmp1 基因表达 水平在损伤修复过程中显著上调,上述结果表明 DMP1-PG 参与颌骨损伤修复过程。为进一步探究 DMP1-PG 调控颌骨损伤修复的重要意义及机制,课 题组构建 WT 小鼠及 DMP1-PG 点突变(S89G-DMP1)小鼠下颌骨骨缺损模型,该缺损模型为稳定 的颌骨膜内成骨模型。通过对二组小鼠颌骨损伤 后7d、14d及28d样本进行组织切片、染色,研究 发现, DMP1-PG 缺失后, 小鼠成骨能力明显减弱, WT 小鼠在建模后 28 d,新生骨组织几乎完全覆盖 缺损区,而 S89G-DMP1 小鼠仅表现为部分骨组织修 复,修复周期明显延长。上述结果表明 DMP1-PG 在颌骨损伤修复过程中发挥重要的调控作用。利 用 RT-qPCR 技术,我们检测颌骨损伤修复过程中成 骨相关基因表达变化,结果显示损伤后7d及14d, S89G-DMP1 小鼠成骨相关基因表达均明显低于对 照组 WT 小鼠, 颌骨修复过程中, 除成骨相关基因在 DMP1-PG 缺失后发生变化,与蛋白聚糖生成相关基 因同样出现表达减低趋势,这种趋势在损伤修复早 期表现更加明显。上述结果表明,DMP1-PG 缺失后

不仅影响骨组织生成,同样参与调控其他类型与损 伤修复密切相关的蛋白聚糖的合成。

相关研究表明,骨髓来源的间充质干细胞具有较强的修复骨组织缺损的能力<sup>[18-20]</sup>。间充质干细胞在骨损伤修复过程中可直接向成骨细胞分化,同时可调控组织修复过程中的免疫活动,促进血管生成及其他类型细胞向损伤区募集<sup>[21]</sup>。本次研究中,我们提取两组小鼠下颌骨骨髓间充质干细胞并进行成骨诱导,ALP染色可见 S89G-DMP1 小鼠来源的间充质干细胞成骨能力显著低于 WT 小鼠,此外,成骨相关基因及蛋白聚糖合成相关基因表达同样显著低于对照组。上述结果表明,在细胞水平,DMP1-PG 可能参与调控干细胞分化能力,进而调控骨组织损伤修复过程。

综上所述,DMP1-PG 作为一类新发现的蛋白聚糖,在颌骨组织损伤修复过程中发挥重要的正向调控作用,其机制可能与干细胞分化及蛋白聚糖合成有关,本研究为治疗颌骨损伤修复提供新的研究方向及治疗靶点。

#### 参考文献:

- [1] 王亚楠, 吴旋, 贾婷婷, 等. 2型糖尿病对小鼠下颌骨骨再生及辅助性 T 细胞 17、调节性 T 细胞相关因子表达的影响 [J]. 华西口腔医学杂志, 2021, 39(6): 642-650.
- [2] 黄佳倩,马国武. 他汀类药物在颌骨缺损再生中的骨代谢及免疫调控研究进展[J]. 口腔医学研究,2021,37(7):592-594.
- [3] 熊学鹏,赵怡芳.上颌骨缺损修复后的功能与形态评估 [J].中国实用口腔科杂志,2021,14(5):536-540.
- [4] Sivaraj KK, Majev PG, Jeong HW, et al. Mesenchymal stromal cell-derived septoclasts resorb cartilage during developmental ossification and fracture healing [J]. Nat Commun, 2022, 13 (1): 571.
- [5] Knox AM, McGuire AC, Natoli RM, et al. Methodology, selection, and integration of fracture healing assessments in mice [J]. J Orthop Res, 2021, 39(11); 2295-2309.
- [6] Lukač N, Katavić V, Novak S, et al. What do we know about bone morphogenetic proteins and osteochondroprogenitors in inflammatory conditions? [J]. Bone, 2020, 137: 115403.
- [7] 薛徽, 孙瑶. 影响骨折愈合的生物因素研究新进展 [J]. 口腔医学, 2018, 38(11): 1043-1047.

- [8] 孙瑶. 骨基质酸性蛋白 DMP1 在骨发育中的作用 [J]. 口腔 颌面外科杂志, 2014, 24(2): 85-89.
- [ 9 ] Wong SA, Hu DP, Slocum J, et al. Chondrocyte-to-osteoblast transformation in mandibular fracture repair [ J ]. J Orthop Res, 2021, 39(8): 1622-1632.
- [10] Hixon KR, Miller AN. Animal models of impaired long bone healing and tissue engineering- and cell-based *in vivo* interventions [J]. J Orthop Res, 2022, 40(4): 767-778.
- [11] Lu X, Li W, Fukumoto S, et al. The ameloblastin extracellular matrix molecule enhances bone fracture resistance and promotes rapid bone fracture healing [J]. Matrix Biol, 2016, 52-54: 113-126.
- [12] Xue H, Tao D, Weng Y, et al. Glycosylation of dentin matrix protein 1 is critical for fracture healing via promoting chondrogenesis [J]. Front Med, 2019, 13(5): 575-589.
- [13] Weng Y, Liu Y, Du H, et al. Glycosylation of DMP1 is essential for chondrogenesis of condylar cartilage [J]. J Dent Res, 2017, 96(13): 1535-1545.
- [14] Gao Y, Liu S, Huang J, et al. The ECM-cell interaction of cartilage extracellular matrix on chondrocytes [J]. Biomed Res Int, 2014, 2014; 648459.
- [15] Jing B, Zhang C, Liu X, et al. Glycosylation of dentin matrix protein 1 is a novel key element for astrocyte maturation and BBB integrity [J]. Protein Cell, 2018, 9(3): 298-309.
- [16] 周梦琪,范琪琪,孙瑶. 牙本质基质蛋白 1 糖基化修饰对小鼠骨骼肌损伤修复的影响 [J]. 同济大学学报(医学版), 2020, 41(2): 198-204.
- [17] Sun Y, Weng Y, Zhang C, et al. Glycosylation of dentin matrix protein 1 is critical for osteogenesis [J]. Sci Rep., 2015, 5: 17518.
- [18] Aghali A. Craniofacial bone tissue engineering: current approaches and potential therapy [J]. Cells, 2021, 10 (11): 2993.
- [19] Liang W, Han B, Hai Y, et al. Mechanism of action of mesenchymal stem cell-derived exosomes in the intervertebral disc degeneration treatment and bone repair and regeneration [J]. Front Cell Dev Biol, 2021, 9: 833840.
- [20] Shin RL, Lee CW, Shen OY, et al. The crosstalk between mesenchymal stem cells and macrophages in bone regeneration; a systematic review [J]. Stem Cells Int, 2021, 2021; 8835156.
- [21] Oryan A, Kamali A, Moshiri A, et al. Role of mesenchymal stem cells in bone regenerative medicine; what is the evidence?[J]. Cells Tissues Organs, 2017, 204(2): 59-83.

[ 收稿日期] 2022-03-24